

ТОПОЛОГИЧЕСКИЕ СЕЧЕНИЯ И КОРРЕЛЯЦИОННЫЕ ЭФФЕКТЫ ВО ВЗАИМОДЕЙСТВИЯХ АДРОНОВ ВЫСОКИХ ЭНЕРГИЙ

С.Щ.Мавродиев, А.Н.Сисакян

Объединенный институт ядерных исследований, Дубна

Г.Т.Торосян

Ереванский государственный университет

I. ВВЕДЕНИЕ

Как известно, около 80% соударений адронов при высоких энергиях сопровождаются множественным рождением вторичных частиц (преимущественно π -мезонов). К числу наиболее просто измеряемых на эксперименте характеристик множественных процессов относятся так называемые топологические сечения и их моменты (параметры) такие, как средняя множественность, дисперсия и др. Эти величины, несмотря на свой интегральный характер, несут достаточно детальную информацию о процессе. В то же время теоретический анализ топологических характеристик, являясь одной из центральных проблем множественного рождения, сопряжен с многими трудностями, основная из которых – описание с единных теоретических позиций совокупности известных закономерностей и свойств различных процессов.

В последние годы стало очевидным, что описание таких процессов в рамках той или иной гипотезы о едином механизме образования вторичных частиц не является удовлетворительным. В работе^{/1/} была высказана идея

о необходимости выделения различных областей фазового пространства, соответствующих образованию различных по природе групп частиц, лишь в совокупности дающих наблюдаемую множественность. Эта идея стимулировала развитие так называемого подхода^{/2,10/} в теории множественного рождения, который исходит из наличия в каждом акте взаимодействия нескольких механизмов образования вторичных частиц. Отметим, что этот подход развивается в органической связи с гипотезой существования кластеров, наблюдаемых на опыте как коррелированные группы частиц. Интерес к подобным моделям обусловлен, в частности, экспериментальными указаниями на значительное преобладание вторичных частиц, рождающихся через кластеры (или резонансы), т.е. не непосредственно.

Таким образом, встает вопрос о едином описании топологических характеристик и их энергетической зависимости для различных типов сталкивающихся частиц и связанная с этим проблема выяснения физического смысла различных механизмов образования частиц и свойств адронных ассоциаций (кластеров, резонансов). Рассмотрению этих вопросов в рамках феноменологической многокомпонентной модели^{/3/} и посвящена настоящая работа. В разделе 2 дается описание физической картины, возникающей при изучении модели. В следующей части работы проводится сравнение выводов модели с экспериментальными данными о топологических характеристиках $p\bar{p}$ -, $\bar{p}p$ -, $K^+ p^-$, $\pi^+ p^-$ -взаимодействий в широком интервале энергий. При этом делается попытка проанализировать зависимости при высоких энергиях множественных распределений от квантовых чисел сталкивающихся частиц. В разделе 4 представлены основные выводы из проведенного анализа.

2. ОПИСАНИЕ МОДЕЛИ

В работе^{/3/} была развита кластерная модель двух механизмов (МДМ) для описания топологических распределений и средней множественности в $(p\bar{p} \rightarrow n_{ch} + X_o)$ -процессах. Схема может быть применена для описания топо-

логических распределений $\bar{p}p$, $K^+ p$, $\pi^\pm p$ -процессов при высоких энергиях. Модель строится в предположении о существовании двух независимых механизмов рождения частиц в адрон-адронном процессе:

- диссоциации сталкивающихся частиц с образованием лидирующих частиц;
- независимого испускания разного сорта центральных адронных ассоциаций (клластеров) с изоспином $I = 0$.

Основываясь на этих предположениях, для вероятностного распределения по числу кластеров имеем

$$W_{n_1, n_2}^{l,j} = \alpha_j \beta_j p_{n_1}(\langle n_1 \rangle) p_{n_2}(\langle n_2 \rangle) \dots , \quad (1)$$

где α_j , β_j - вероятности j -го и l -го каналов диссоциации налетающей частицы и частицы мишени соответственно; $n_l(\langle n_l \rangle)$ - множественность (средняя множественность) кластеров типа l ; $p_n(\langle n \rangle)$ - пуссоновское распределение*. Для получения наблюдаемой интегральной характеристики топологического сечения необходимо просуммировать (1) по числу возможных каналов диссоциации и по числу кластеров, учитывая при этом закон сохранения заряда.

Феноменологический анализ позволяет предположить, что сталкивающиеся частицы диссоциируют не более чем на три частицы и что вероятности проанализированы на три заряженные частицы равны для налетающей частицы и частицы мишени. Далее предположим для кластеров следующие моды распадов: $\sigma (\sigma \rightarrow \pi^+ \pi^-$, $\pi^0 \pi^0$), $\omega (\omega \rightarrow \pi^+ \pi^- \pi^0)$, $B (B \rightarrow 2 \pi^+ 2 \pi^-$, $\pi^+ \pi^- 2 \pi^0$, $4 \pi^0$). Эта схема, в принципе, допускает возможность кластерам распадаться через промежуточные резонансы.

Нетрудно показать, что из (1) в рамках сделанных конкретных допущений распределение по множественности заряженных частиц в процессах $a p \rightarrow n_{ch} + X_a$ ($a = \bar{p}, p, K^+, \pi^\pm$) будет иметь вид:

* Формула (1), имеющая ясный физический смысл, находит обоснование в рамках теоретико-полевых моделей в приближении прямолинейных путей⁴, которое является теоретической реализацией гипотезы лидирующих частиц, возникшей в физике космических лучей⁵.

$$W_{n_c} = \alpha^2 \sum_{n=0}^{\left[\frac{n_c-2}{4}\right]} p_n(b) p_{\frac{n_c-2-4n}{2}}(a) + 2\alpha(1-\alpha) \sum_{n=0}^{\left[\frac{n_c-4}{4}\right]} p_n(b) p_{\frac{n_c-4-4n}{2}}(a) + \\ + (1-\alpha)^2 \sum_{n=0}^{\left[\frac{n_c-6}{4}\right]} p_n(b) p_{\frac{n_c-6-4n}{2}}(a), \quad (2)$$

где a и b – средние числа кластеров, распадающихся на две и четыре заряженные частицы соответственно:

$$a = \langle n_{\pi^+ \pi^-} \rangle + \langle n_{\pi^+ \pi^- \pi^0} \rangle + \langle n_{\pi^+ \pi^- 2\pi^0} \rangle,$$

$$b = \langle n_{2\pi^+ 2\pi^-} \rangle.$$

Здесь α – вероятность пролиссиировать не более чем на одну заряженную частицу; $[A]$ – целая часть числа A . Числа заряженных и нейтральных частиц в конечном состоянии можно представить в следующем виде:

$$n_c = 2n_{\pi^+ \pi^-} + 2n_{\pi^+ \pi^- \pi^0} + 2n_{\pi^+ \pi^- 2\pi^0} + 4n_{2\pi^+ 2\pi^-} - l_c, \\ n_o = 2n_{\pi^0 \pi^0} + n_{\pi^+ \pi^- \pi^0} + 2n_{\pi^+ \pi^- 2\pi^0} + 4n_{4\pi^0} + l_o, \quad (3)$$

где l_c и l_o – числа заряженных и нейтральных частиц среди продуктов диссоциации сталкивающихся адронов. При этом основные характеристики распределения по множественности заряженных частиц (2) имеют следующий вид¹⁾:

$$\langle n_c \rangle \equiv f_1 = 2a + 4b + 2 + 4(1-\alpha), \\ f_2 = 2a + 12b - 8\alpha^2 + 12\alpha - 6, \\ f_3 = 24b - 32\alpha^3 + 72\alpha^2 - 48\alpha - 12, \\ f_4 = 24b - 192\alpha^4 + 576\alpha^3 - 600\alpha^2 + 240\alpha - 36. \quad (4)$$

3. СРАВНЕНИЕ МОДЕЛИ С ЭКСПЕРИМЕНТАЛЬНЫМИ ДАННЫМИ ПО АДРОН-АДРОННЫМ СТОЛКНОВЕНИЯМ

В этом разделе будет дано совместное описание с помощью формул (2), (4) имеющихся в настоящее время ускорительных экспериментальных

¹⁾ При сравнении с экспериментальными данными для проверки схемы ее самосогласованность рассматривалось выражение для $\langle n_c \rangle$ с дополнительным параметром
 $\langle n_c \rangle = 2a + 4b + c + 4(1-\alpha),$ (4a)
который получился близким к своему теоретическому значению $c = 1.03 \pm 0.10.$

данных по $\bar{p}p$, $p\bar{p}$, $K^+ p^-$, $\pi^\pm p$ -взаимодействиям при высоких энергиях ($S > 100 \text{ ГэВ}^2$), а также дан анализ на основе этого сравнения энергетических зависимостей и зависимостей параметров задачи от квантовых чисел сталкивающихся адронов. Сравнение проводилось с использованием экспериментальных результатов, опубликованных в работах^{/6/} и соответствующих следующим энергиям: 1) $\bar{p}p$, $S = 189 \text{ ГэВ}^2$; 2) $p\bar{p}$, $S = 189, 386, 570, 782, 962, 2025, 2810, 3870 \text{ ГэВ}^2$; 3) $K^- p$, $S = 277 \text{ ГэВ}^2$; 4) $K^+ p$, $S = 189 \text{ ГэВ}^2$; 5) $\pi^\pm p$, $S = 114, 189 \text{ ГэВ}^2$; 6) $\pi^\pm p$, $S = 189, 277, 386 \text{ ГэВ}^2$. Экспериментальный материал включал 185 точек по зарядовым распределениям и 35 точек по средней множественности.

Для a , b и c был выбран следующий вид энергетической зависимости (см. работу^{/3/}^{*)}:

$$a = a_1 (\ln s/s_0)^{-2}, \quad b = a_3 (\ln s/s_0)^{-2}, \quad c = \frac{1 + a_4 \ln s/s_0}{1 + \ln s/s_0}. \quad (5)$$

Для однозначного определения шести групп параметров a_1, a_2, a_3, a_4 для рассматриваемых шести процессов достаточно отличать сталкивающиеся частицы по массе и заряду. Был выбран следующий простой вид зависимости a_1, a_2, a_3, a_4 от квантовых чисел

$$\begin{aligned} a_1 &= c_1 + c_2 (m_a + m_b)^2 + c_3 (q_a + q_b)^2, \\ a_2 &= c_4 + c_5 (m_a + m_b)^2 + c_6 (q_a + q_b)^2, \\ a_3 &= c_7 + c_8 (m_a + m_b)^2 + c_9 (q_a + q_b)^2, \\ a_4 &= c_{10} + c_{11} (m_a + m_b)^2 + c_{12} (q_a + q_b)^2. \end{aligned}$$

Значения параметров c_i ($i = 1, \dots, 12$) определяются из решения следующей системы уравнений:

$$\begin{aligned} W_{n_c}^{\text{теор}}(s, c_i, i) - W_{n_c}^{\text{эксп}}(i) &= 0, \quad i = 1, \dots, 185, \\ \langle n_c \rangle^{\text{теор}}(s, c_i, i) - \langle n_c \rangle^{\text{эксп}}(i) &= 0, \quad i = 1, \dots, 35, \end{aligned}$$

^{*)} Такой выбор энергетической зависимости для a связан со слабо меняющимся вкладом дифракционного механизма с ростом энергии. Для a и b выбор сделан исходя из связей этих параметров со средней множественностью $\langle n_c \rangle$ (см. (4)).

которая решалась методом авторегулированных итерационных процессов типа Гаусса-Ньютона^{/7/} с помощью программного комплекса COMPIL^{/8/и}. Для получения графической информации использовался язык Sigma^{/9/}. В процессе подгонки некоторые из C_1 оказались равными нулю. Окончательно для a_1 , a_2 , a_3 , a_4 были найдены следующие зависимости от массы и зарядов:

$$\begin{aligned} a_1 &= A_1(m_a + m_b)^2, \\ a_2 &= A_2 + A_3(m_a + m_b)^2 + A_4(q_a + q_b)^2, \\ a_3 &= A_5(m_a + m_b)^2, \\ a_4 &= A_6 + A_7(m_a + m_b)^2, \end{aligned} \quad (6)$$

где m_a , m_b и q_a , q_b – соответственно массы и заряды сталкивающихся частиц a , b и

$$\begin{aligned} A_1 &= 0,029 \pm 0,008; \quad A_2 = 2,226 \pm 0,072; \quad A_3 = -0,162 \pm 0,070; \\ A_4 &= -0,008 \pm 0,001; \quad A_5 = 0,019 \pm 0,002; \quad A_6 = 0,513 \pm 0,041; \\ A_7 &= 0,058 \pm 0,020. \end{aligned} \quad (7)$$

Результаты сравнения модели (формулы (2) и (4)) с экспериментом представлены на рис. 1-б. Значения параметров a_1 , a_2 , a_3 , a_4 , a для различных процессов приведены в табл. 1. При этих значениях семи подгночных параметров экспериментальные точки описываются вполне удовлетворительно ($\chi^2 = \frac{205}{185} \approx 1,8$). Близкие значения χ^2 данного описания и отдельного описания $p\bar{p} \rightarrow p_{ch} + X_0$ процессов (см. работу^{/9/}) ($\chi^2 = 1,8$) указывают на то, что с той же степенью точности, с которой в работе^{/8/} был описан процесс $p\bar{p}$, в настоящем исследовании найдены зависимости a , b и a от квантовых чисел и энергий для шести рассматриваемых процессов.

Интересно отметить, что в a_1 и a_3 зависимость от заряда оказалась очень слабой, в то время как a и b пропорциональны квадрату массы системы сталкивающихся частиц. В a_2 эта зависимость также слабая и практически ею можно пренебречь ($A_4 \approx 0$).

^{*)} Программа С401, 421 из библиотеки стандартных программ ОИДИ, размещаемых на ЭВМ СДС-6500.

4. ОБСУЖДЕНИЕ РЕЗУЛЬТАТОВ

Проведенный модельный анализ дает возможность сделать ряд выводов о проявлении некоторых закономерностей множественных распределений и их корреляционных параметров при высоких энергиях, а также о проявлении определенных различий этих характеристик в зависимости от сорта сталкивающихся частиц. Приведем здесь основные из этих следствий.

1. Распределения по множественности (см. рис. 1) расширяются с ростом энергии (распределения значитель но шире пуассоновских с данной средней множественностью). Причем скорость расширения различна для разных процессов $V_{pp} < V_{Kp} < V_{\pi p}$ при сверхвысоких энергиях. На эту особенность наглядно указывает разная степень роста соответствующих корреляционных параметров f_2 при сверхвысоких энергиях (см. рис. 2). Эти явления (уширение, резкое отличие от пуассоновского распределения) существенно связаны с многокомпонентной структурой W_n , их также можно рассматривать как указание на преимущественное образование вторичных частиц через адронные ассоциации (клusterы, резонансы и т.п.)¹⁾.

2. Средняя множественность растет приблизительно как $\ln S \div \ln^2 S$. Причем для различных процессов степень роста этой величины разная (см. рис. 3 и табл. 1). На распределениях по множественности (рис. 1) это проявляется в смещении с ростом энергии максимума функции W_n вправо (в область больших n). При этом относительное расположение этих максимумов при заданной энергии для разных процессов регулируется соотношением соответствующих корреляционных параметров f_3 (см. рис. 4). Положительные значения этого параметра свидетельствуют об "отставании" максимума W_n от максимума пуассоновского распределения с данной средней множественностью. Отметим здесь, что слабая зависимость степени роста a и b приводит кирующему с энергией различию между корреляционными параметрами процессов a^+p и a^-p ($a = p, K, \pi$), которое может быть существенным при очень высоких энергиях.

1) Отметим, что при очень высоких энергиях суммарное множественное распределение W_n может приобрести определенные нерегулярности в структуре (дилы, пики и т.п.), связанные с "игрой" различных компонент (аналог Вильсоновского дипла/10/). Такие нерегулярности, допускающиеся в данной модели, были исследованы в работе/11/.

3. Как видно из формул (5) и (6), отношение средних чисел кластеров, распадающихся соответственно на две и четыре заряженные частицы $a(s)$ и $b(s)$, постоянно ($\frac{a(s)}{b(s)} = 2,13$). Порядок значения этого отношения соответствует физической картине, в которой четырехчастичный кластер с изоспином $|I| = 0$ распадается сначала на две системы с изоспинами $|I_1|=|I_2|=1$, которые, в свою очередь, распадаются на π -мезоны. Легко видеть, что такую ситуацию можно получить, например, рассматривая четырехчастичный кластер как состоящие двух векторных ρ -мезонов с изоспином, равным нулю:

$$\frac{\omega[(\rho\rho)^{I=0} \rightarrow \rho^+ \rho^- \rightarrow \pi^+ \pi^0 \pi^- \pi^0]}{\omega[(\rho\rho)^{I=0} \rightarrow \rho^0 \pi^0 \rightarrow \pi^+ \pi^- \pi^+ \pi^-]} = 2.$$

Отметим, что проведенный анализ указывает на рост с энергией вклада многочастичных кластеров $n > 2$ (тяжелых кластеров $M_{\text{кл}} \geq 2 \text{ ГэВ}^{12/}$).

4. Функция $a(s)$, связанная с диссоциацией, почти не меняется для данного процесса в изученном интервале энергий, что говорит о слабом изменении вклада дифракционного механизма с ростом энергии. Однако, как видно из (5), (6) и (7), значение величины a сильно зависит от масс начальных частиц (см. табл. 1).

5. Обращают на себя внимание растущие в рассматриваемой области положительные значения корреляционного параметра f_4 . Эта особенность свидетельствует в пользу наличия здесь существенных четырехимпульсовых корреляций. Исследование этих корреляций дает прямые сведения о наличии предполагаемых в модели четырехчастичных кластеров. Рассмотрим этот вопрос подробнее.

Как указывает эксперимент, величина $Z_c = \frac{\langle n_c \rangle}{D_c}$ остается постоянной и равной приблизительно $Z_c = 2$ в изученном интервале энергий^{*}. Этую величину легко выразить через корреляционный параметр f_2^{--} распределения отрицательно заряженных частиц (см. работу^{11/}):

$$Z_c = \frac{\langle n_c \rangle}{\sqrt{2 \langle n_c \rangle + 4 f_2^{--} - 4}}, \quad (8)$$

*Равенство $Z_c = 2$ означает точное выполнение КНО-скеджинга^{13/}.

которая в рамках нашей модели однозначно связана с наличием четырехчастичных кластеров. При $f_2 = 0$ равенство $Z_c = 2$ выполняется при $\langle n_c \rangle = 4$ (т.е. при $P_L = 19$ ГэВ/с в pp-процессах). При дальнейшем росте энергии выполнение равенства $Z_c = 2$ требует положительных значений f_2^{--} . Взяв $\langle n_c \rangle$ из эксперимента и подсчитав f_2^{--} по формуле $f_2^{--} = (f_2^{--} - \langle n_c \rangle + 4)/4$ (см. работу ^{11/}), можем сравнить полученные таким образом Z_c с его экспериментальными значениями. Это сравнение может выявить количественное согласие рассмотренных четырехчастичных кластеров с экспериментом. Как видно из табл. 2, согласие удовлетворительное, что свидетельствует о важной роли четырехчастичных кластеров (в указанном интервале энергий) и, в частности, о их значениях в анализе закона подобия КНО.

С другой стороны, подсчитанные по модели значения $Z_c = 2$ говорят о приблизительном выполнении закона КНО в модели, а возникшие отклонения связаны с конкуренцией компонент.

В заключение отметим, что проведенный выше в рамках модели феноменологический анализ указывает на возрастающую роль многочастичных адронных ассоциаций (кластеров с $n_{\text{кл}} > 4$) в процессах с большими множествами, введение которых не требуется для описания экспериментов при относительно малых энергиях ($p \leq 100$ ГэВ/с ^{14/}). Но, к сожалению, имеющиеся экспериментальные данные не дают пока прямых и однозначных ответов на вопрос о количественном и качественном составе адронных ассоциаций.

Для получения более полной информации о механизмах множественного рождения адронов желательно выделение и детальное экспериментальное исследование вкладов в множественные характеристики различных областей фазового пространства. Безусловно, полные сведения о поставленных здесь вопросах невозможно извлечь без развития, с другой стороны, конкретных теоретических схем, адекватных механизмов образования частиц, устанавливающих связь этих механизмов со структурой адронов ^{15/}.

Авторы глубоко благодарны Н.Н.Баголобову и А.Н.Тавхелидзе за постоянную научную поддержку. Мы имели возможность неоднократно обсуждать результаты работы с Ю.А.Будаговым, В.Г.Кадышевским, А.Н.Квирихи-

зе, С.П.Кулешовым, В.А.Матвеевым, М.Д.Мир-Касимовым, В.К.Митрюшкиным, В.И.Саврином, Л.А.Слепченко и глубоко признательны им за ценные советы.

Л И Т Е Р А Т У Р А

1. A.A.Logunov, M.A.Mestvirishvili, Nguen Van Hieu. Phys. Lett., 25B, 611 (1967).
2. S.P.Kuleshov, V.A.Matveev, A.N.Sissakian. Fizika 5, 67 (1973); V.G.Grishin et al. Preprint JINR E2-6596, Dubna, 1972; Nuovo Cim. Lett., 8, 590 (1973); A.N.Sissakian. Preprint JINR, E2-9086, Dubna, 1975, 243.
3. С.Щ.Мавродиев, В.К.Митрюшкий, А.Н.Сисакян, Г.Т.Торосян. Препринт ОИЯИ Д2-11947, Дубна, 1978.
4. В.М.Барбашов et al. Phys. Lett., 33B, 484 (1970).
5. С.Н.Вернов, Е.Л.Фейнберг. Препринт ОИЯИ Р12-8529, Дубна, 1975, 73.
6. a) R.E.Ansgor et al. Phys. Lett., 59B, 299 (1975);
b) P.Slattery. Phys. Rev., D7, 2073 (1973);
C.Bromberg et al. Phys. Rev. Lett., 31, 1563 (1973);
W.Thome et al. Nucl. Phys., B129, 365 (1977);
E.Albini et al. Nuovo Cim., 32A, 101 (1976);
c) D.Fong et al. Nucl. Phys., B102, 386 (1976);
d) V.E.Barnes et al. Phys. Rev. Lett., 34, 415 (1974);
e) E.L.Berger. Nucl. Phys., B77, 365 (1974);
G.S.Abrams et al. Phys. Rev. Lett., 31, 1271 (1977);
f) C.Bromberg et al. Phys. Rev., D15, 64 (1977);
W.M.Morse et al. Phys. Rev., D15, 66 (1977).
7. Л.Александров. ЖВМ и МФ, 11, 1 (1971); препринт ОИЯИ Р5-5511, Дубна, 1970.
8. Л.Александров. Препринт ОИЯИ Б1-5-9969, Дубна, 1976.
9. R.Hagedorn et al. Preprint CERN 73-5, 1973.
10. K.Wilson. CLNS-131, Cornell, 1971.
11. А.Н.Сисакян, Г.Т.Торосян. Препринт ОИЯИ, Р2-12885, Дубна, 1979.
12. А.С.Кирилин и др. Препринт ОИЯИ Д2-11833, Дубна, 1978.
13. Z.Koba, Н.В.Nielson, P.Olesen. Nucl. Phys., B40, 317 (1972).
14. A.Wroblewski. Proceed.of VIII Intern. Symposium on Multiparticle Dynamics, 12-17 June, Kaysersberg, 1977.
15. См. обзоры и ссылки в них:
И.В.Андреев, И.М.Дремин. УФН, 122, 37 (1977);
С.П.Кулешов и др. ЭЧАЯ, 5, 3 (1974);
А.П.Кванихидзе и др. ЭЧАЯ, 8, 478 (1977);
C.Guigg, J.D.Jackson. NAL-THY-93, Batavia, 1972 ;
C.Guigg. Lectures in Summer School, McGill Univ., ITP-SB-73-42;
K.Fialkowski, H.Miettenen. Phys. Lett., 43B, 611 (1973);
A.A.Logunov, M.A.Mestvirishvili. CERN, TH-1707, Geneva, 1973.

Таблица 1Значения параметров a_1 , a_2 , a_3 , a_4 и a для рассмотренных процессов

	a_1	a_2	a_3	a_4	a
PP	0,101 $\pm 0,022$	1,656 $\pm 0,085$	0,047 $\pm 0,004$	0,718 $\pm 0,102$	0,774 $-0,753$
PP	0,101 $\pm 0,022$	1,630 $\pm 0,090$	0,047 $\pm 0,004$	0,718 $\pm 0,102$	0,774 $-0,753$
\bar{K}_p	0,059 $\pm 0,013$	1,894 $\pm 0,076$	0,028 $\pm 0,002$	0,632 $\pm 0,078$	0,694 $-0,675$
K'_p	0,059 $\pm 0,013$	1,868 $\pm 0,081$	0,028 $\pm 0,002$	0,632 $\pm 0,078$	0,694 $-0,075$
$\pi^- p$	0,038 $\pm 0,007$	2,088 $\pm 0,070$	0,016 $\pm 0,001$	0,581 $\pm 0,060$	0,649 $-0,630$
$\pi^+ p$	0,038 $\pm 0,007$	2,012 $\pm 0,075$	0,016 $\pm 0,001$	0,581 $\pm 0,060$	0,649 $-0,630$

Таблица 2

Сравнение экспериментальных и модельных значений

$$\text{переменного Вроблевского } Z_c = \frac{\langle n_c \rangle}{D_c}$$

$S, (\text{ГэВ}^2)$	193	386	570	762	962	2025	2810	3970
$Z_c^{\text{теор}}$	1,835	1,93	1,98	1,88	1,92	2,011	2,06	2,12
$Z_c^{\text{акс}}$	2,001	1,967	2,023	1,89	1,967	1,867	1,841	1,849

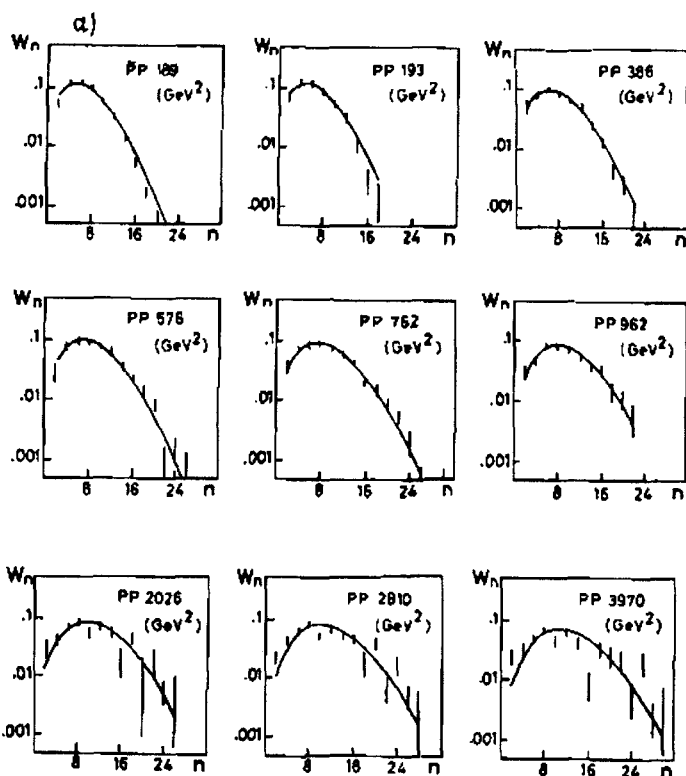
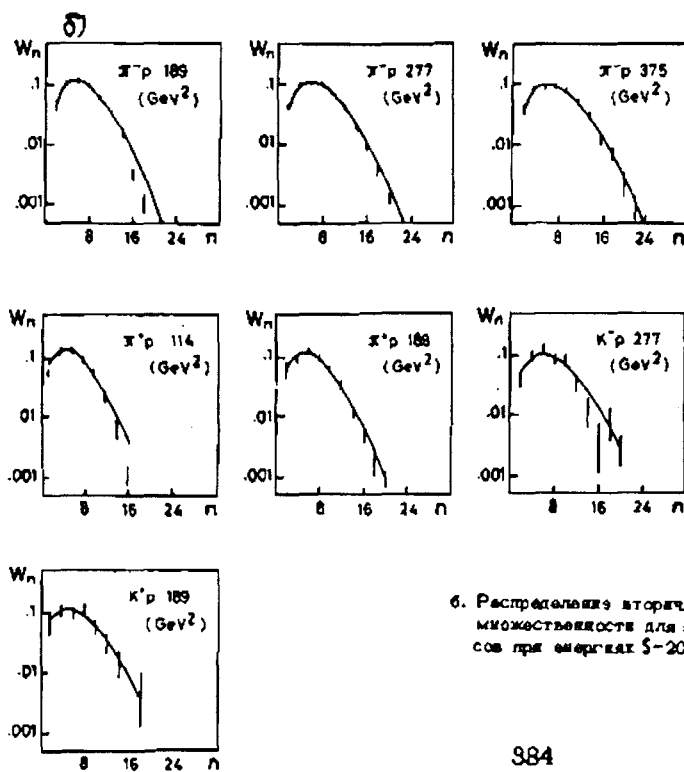


Рис. 1а. Распределение вторичных частиц по множественности для $\bar{p}p$ - и $p\bar{p}$ -процессов при энергиях $S \sim 200-4000$ ГэВ 2



б. Распределение вторичных частиц по множественности для π^-p -и K^-p -процессов при энергиях $S \sim 200-400$ ГэВ 2 .

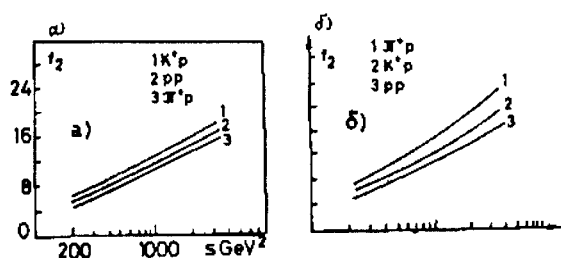


Рис. 2. Зависимость корреляционного параметра f_2 от энергии для pp-, Kr- и π p-процессов: а) при имеющихся ускорительных энергиях, б) при сверхвысоких энергиях $s > 10^5-10^6$ ГэВ 2 .

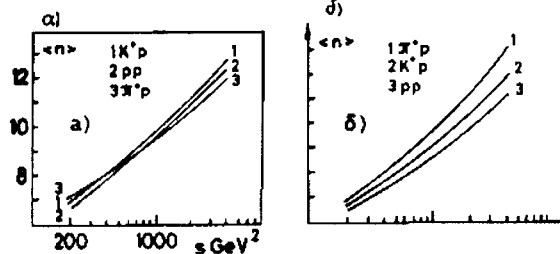


Рис. 3. Зависимость средней заряженной множественности $\langle n \rangle$ от энергии для pp-, Kr- и π p-процессов: а) при имеющихся ускорительных энергиях, б) при сверхвысоких энергиях $s > 10^5-10^6$ ГэВ 2 .

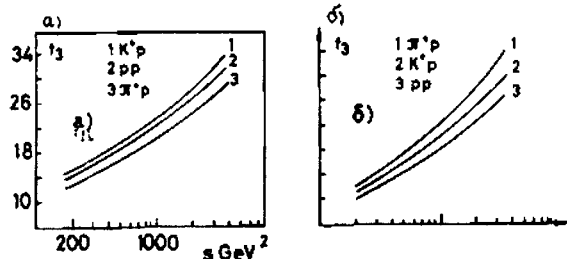


Рис. 4. Зависимость корреляционного параметра f_3 от энергии для pp-, Kr- и π p-процессов: а) при имеющихся ускорительных энергиях, б) при сверхвысоких энергиях $s > 10^5-10^6$ ГэВ 2 .

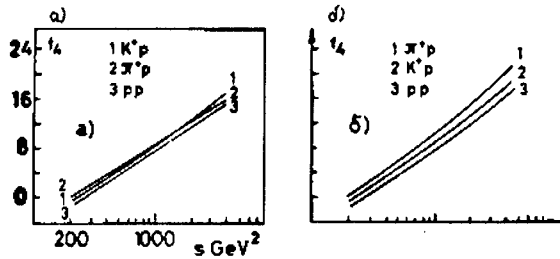


Рис. 5. Зависимость корреляционного параметра f_4 от энергии для pp-, Kr- и π p-процессов: а) при имеющихся ускорительных энергиях, б) при сверхвысоких энергиях $s > 10^5-10^6$ ГэВ 2 .